

663.255

Т 98

Тюрин С.Т., Шалай В.В., Тюрин А.С.,  
Покровский А.В., Капанидакис А.И., Мошкин В.Ф.

Об экономии материалов при  
выпуске облегченных конструкций  
горизонтальных цистерн

Ялта 2001

## Введение

В мире из всех видов технологического оборудования стационарные и транспортные емкости для жидкости (воды, химических растворов, нефтяных, пищевых и др. продуктов) занимают одно из ведущих мест. Соответственно имеет место и расход конструкционных материалов. В связи с этим не является случайным продолжающийся изобретателями, конструкторами, учеными в различных областях техники и технологии поиск снижения расхода материалов. При этом в числе требований обычно остается сохранение как надежности и первоначальной прочности, так и технологии эксплуатации емкостей. Впервые авторским коллективом найдено техническое решение, позволяющее не только снизить материалоемкость при сохранении первоначальных прочностных показателей емкостей, но и сохранить условия их эксплуатации (9).

При изготовлении каждой цистерны возможно экономить до 26,72% металла (таблица 2) (10).

Найдено также техническое решение, позволяющее не только дополнительно снизить материалоемкость горизонтальных цистерн с полузигами без ущерба для прочностных свойств, но и расширить функции при эксплуатации изделия. Так, при экономии конструкционных материалов появилась возможность термостатировать емкости (11).

В настоящей работе сообщаются расчеты по экономии материалов при изготовлении цистерн.

Работа прошла апробацию и институтом электросварки им. Е.О. Патона Академии наук Украины дано положительное заключение.

Бр. 1

Подарок читательской библиотеке  
Библиотеке Штедлера «Масштаб»  
от авторского коллектива

23.10.2001. Дир. 7

ВНИИВипН «Магарач»  
НАУЧНО-ТЕХНИЧЕСКАЯ БИБЛИОТЕКА  
334200 г. Ялта Крымской обл., ул. Кирова, 25

# 1. РАСЧЕТ ГЛАДКОЙ ЦИЛИНДРИЧЕСКОЙ ОБОЛОЧКИ, НАГРУЖЕННОЙ ПОПЕРЕЧНЫМИ СИЛАМИ НА ПРОЧНОСТЬ

## 1.1 Расчетная схема.

Края оболочки при расчете приняты такими, при которых нагрузка воспринимается опорами в форме сдвигающих сил. Такими опорами могут служить абсолютно жесткие в своей плоскости и подвижные в направлении OX диафрагмы, на которые опирается оболочка (см. рис. 1.1.).

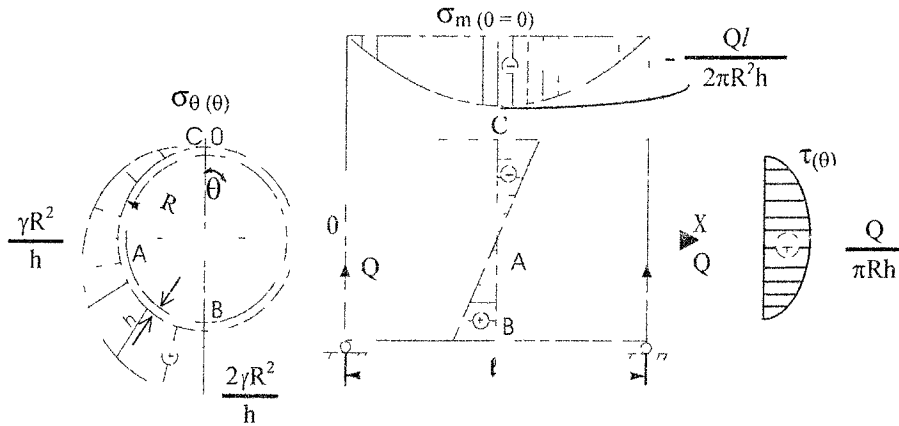


Рис. 1.1.

- где:  $l$  – длина цилиндрической части оболочки, м  
 $R$  – радиус цилиндра, м  
 $h$  – толщина стенки оболочки, м  
 $Q$  – реакция в опоре, Н  
 $\sigma_m$  – меридиальные напряжения, Па  
 $\sigma_\theta$  – широтные напряжения, Па  
 $\tau$  – касательные напряжения, Па  
 $\gamma$  – удельный вес жидкости, Н/м<sup>3</sup>  
 $\theta$  – угловая координата

(4, с.65)

Напряжения в точке А ( $x = l/2; \theta = \pi/2; 3\pi/2$ );  $\sigma_m = 0; \sigma_\theta = \gamma R^2/h$ ;

$$\tau = \frac{Q}{\pi R h}$$

Напряжение в точке В ( $x = l/2; \theta = \pi$ )

$$\sigma_m = \frac{Ql}{2\pi R^2 h}; \quad \sigma_\theta = -\frac{2\gamma R^2}{h}, \quad \tau = 0.$$

Напряжения в точке С ( $X = l/2; \theta = 0$ ).  $\sigma_m = \frac{Ql}{2\pi R^2 h}; \quad \sigma_\theta = 0; \quad \tau = 0$

## 1.2. Материал оболочки и допускаемые напряжения.

В соответствии с [5], с.7, оболочку следует изготавливать из нержавеющей сталей ГОСТ 5632-72. Допускаемые напряжения для нержавеющей сталей (см. [1], с.52)  $[\sigma] = 140.. 160$  МПа.

Модуль продольной упругости (см [1], с 55)  $E = 2.15 \cdot 10^5$  МПа

## 1.3. Основные формулы для расчета на прочность.

### 1.3.1. Нахождение реакций в опорах

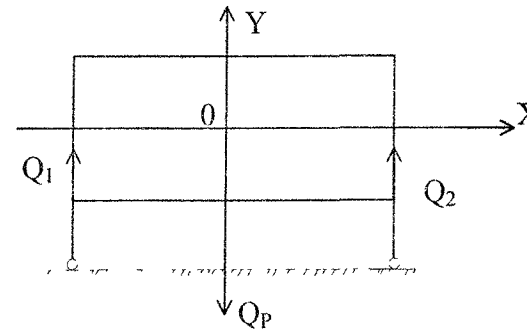


Рис. 1.2.

По формуле (1.3.) находим реакции в опорах.

### 1.3.2. Нахождение минимальной толщины стенки оболочки.

Допускаемое поперечное усилие определяется по формуле (1.4.) (см. [1], с 15)

$$[Q] = 0,25 \pi D * h_1 [\sigma] \quad (1.4.)$$

где  $D$  - диаметр цилиндрической части оболочки, м.

Из условий прочности:  $[Q] \geq Q$  (1.5.)

Подставим (1.3.) в (1.5.) и в (1.4.) и выразим  $h_1$ , получим:

$$h_1 = \frac{\gamma V}{\pi R [\sigma]} \quad (1.6.)$$

# 2 РАСЧЕТ ГЛАДКОЙ ЦИЛИНДРИЧЕСКОЙ ОБОЛОЧКИ, НАГРУЖЕННОЙ ПОПЕРЕЧНЫМИ СИЛАМИ НА УСТОЙЧИВОСТЬ

## 2.1 Расчетная схема.

Схему в п 1.1. рис. 1.1. можно заменить с учетом того, что схема нагружения симметричная (см рис 2.1)

т.к. схема нагружения симметрична, то  $Q_1 = Q_2 = Q$   
 $Q_1 + Q_2 = Q_p$  (1.1.),  
 где  $Q_p$  – вес резервуара, Н.  
 При расчете за вес резервуара  $Q_p$  будем принимать вес жидкости объемом  $V$ , м<sup>3</sup>.

$$Q_{ж} = \gamma V \quad (1.2.)$$

Из (1.2.) с учетом (1.1.) получим:

$$Q = \frac{\gamma V}{2} \quad (1.3.)$$

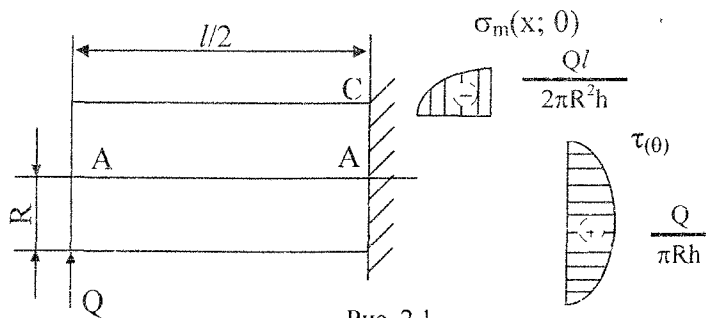


Рис. 2.1.

При расчете на устойчивость не будем учитывать  $\sigma_{\theta}$ , возникающие от внутреннего гидростатического давления жидкости (т.к. оно незначительно), что идет в повышение запаса устойчивости (см[2] с. 574). Потеря устойчивости оболочки может возникнуть в окрестности

- а) точек А-А от действия касательных напряжений  $\tau = \frac{Q}{\pi R h}$
- б) точки С от действия максимальных сжимающих напряжений  $\sigma_m = - \frac{Q l}{2 \pi R^2 h}$

### 2.2. Материал оболочки и его физико-механические свойства.

Материал оболочки см. п.1.2. Модуль продольной упругости  $E = 2,15 \cdot 10^5$  МПа.

Коэффициент Пуассона для большинства сталей:  $\mu = 0,3$ .

### 2.3. Критические напряжения и критические силы.

В окрестности линии А-А потеря устойчивости произойдет при поперечной силе  $[Q]_A$ :

$$[Q]_A = 1,476 E h^2 \sqrt{\frac{4hR}{l^2}} \quad (2.1.)$$

([2], с. 572).

А в окрестности точки С потеря устойчивости произойдет от поперечной силы  $[Q]_C$ :

$$[Q]_C = 2 k E h^2 \frac{2R}{l} \quad (2.2.)$$

где: k – коэффициент, зависящий от R и h.

Значение коэффициента  $k = \sqrt[8]{(100 h / R)^3}$  (см. [4]. с.47, из формулы (2),

$$\text{тогда } [Q]_C = 2 \sqrt[8]{(100 h c / R)^3} * E h^2 * 2 R / l \quad (2.3.)$$

Согласно [1] величину  $[Q]_A$  и  $[Q]_C$  необходимо снизить в  $\pi$  раз.

где  $\pi$  – коэффициент запаса устойчивости. Коэффициент запаса устойчивости следует принимать

2,4 – для рабочих условий,

1,8 – для условий испытания и монтажа, т.е.

$$[Q]_A = \frac{1,476 E h^2 A}{\pi} * \sqrt[4]{\frac{4h_A R}{l^2}} \quad (2.4.)$$

$$[Q]_C = 2 / \pi * \sqrt[8]{(100 h / R)^3} * E h^2 - 2R / l \quad (2.5.)$$

### 2.4. Определение толщины стенки оболочки

По формулам (2.6.) и (2.7.) находим  $h_A$  и  $h_C$ . Затем из этих величин выбираем большую.

$$h_A = \sqrt[9]{\frac{l^2 (Q * \pi)^4}{4R (1,476E)}} \quad (2.6.)$$

$$h_C = \left( \frac{\pi * Q * l}{11,25 R^{0,625} E} \right)^{0,421} \quad (2.7.)$$

где Q определяется по формуле (1.3.)  $Q = \gamma V / 2$

При вычислении реакции Q считаем, что по вертикальной оси нет перегрузок.

## 3. РАСЧЕТ НА УСТОЙЧИВОСТЬ ПОДКРЕПЛЕННОЙ ЦИЛИНДРИЧЕСКОЙ ОБОЛОЧКИ

Рассмотрим горизонтальную цистерну, которая состоит из цилиндрической обечайки 1, на которой имеются полукольцевые зиги 2, и двух торцовых днищ 3. Полукольцевые зиги 2 обеспечивают необходимую жесткость цистерны при уменьшенной толщине стенки обечайки. Для увеличения жесткости вдоль цистерны в ее верхней и нижней частях имеется фланцеобразная отбортовка 4.

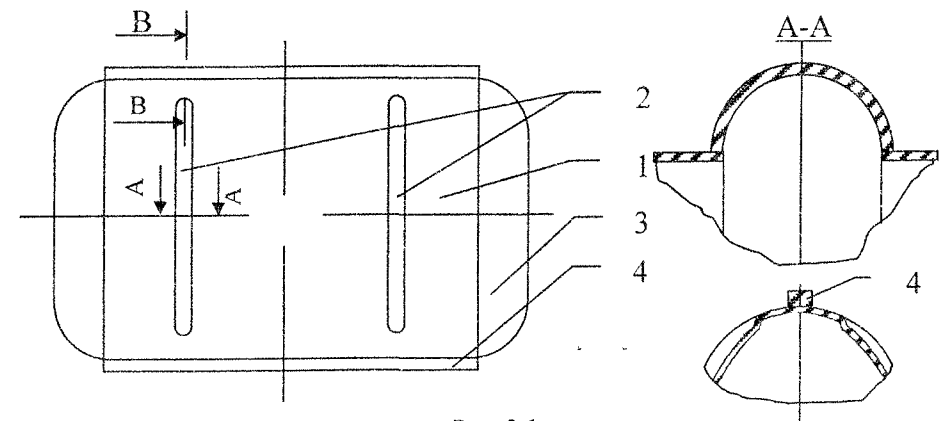


Рис. 3.1.

### 3.1 Расчетная схема.

Так как нагружение оболочки симметрично, то можно применить следующую схему (см. рис. 3.2.)

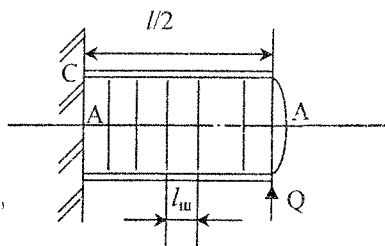


Рис. 3.2.

$l_{ш}$  – шаг шпангоута, м

$$l_{ш} = \frac{l}{2(N_{ш} + 1)},$$

где  $N_{ш}$  – число шпангоутов.

### 3.2. Основные допущения.

Будем считать, что сжимающие усилия  $\sigma_m$  в окрестности точки С и ее окрестностях возникают от осевой сжимающей силы, равной:

$$F = \frac{Ql}{2R} \quad (3.1.)$$

Также будем считать, что касательные напряжения  $\tau$  в окрестностях линии А-А (рис. 3.2.) возникают от крутящего момента, равным

$$M_k = 2 Q R \quad (3.2.)$$

Будем считать, что толщина оболочки (ее стенки) равна  $h$ .

Причем:  $h_C = K_G h$ ,  $h_A = K_G h$

### 3.3. Критический крутящий момент

Согласно [2], с. 587 критический крутящий момент с учетом коэффициента запаса устойчивости:

$$M_{k,кр} = \frac{2,96 E h^2 R \sqrt{hR}}{n_y \sqrt{0,5l}} \left[ 1 + \frac{I_{ш}}{I_{об}} (N_{ш} + 1) \right]^{\frac{5}{8}} \quad (3.3.)$$

где  $I_{ш}$  – момент инерции поперечного сечения шпангоута вместе с примыкающей частью оболочки,  $m^4$

$$I_{об} = h^3 / 24 \quad (3.4.)$$

Критический момент для пролета длиной  $l_{ш}$ , с учетом  $n_y$

$$M_{кр} = \frac{2,96 E h^2 R \sqrt{hR}}{n_y \sqrt{0,5l}} \sqrt{N_{ш} + 1} \quad (3.5.)$$

### 3.4. Оптимальное количество шпангоутов и оптимальный момент инерции поперечного сечения шпангоута.

Обозначим:  $N_{ш}^*$  – оптимальное количество шпангоутов,

$I_{ш}^*$  – оптимальный момент инерции поперечного сечения шпангоута,  $m^4$

$N_{ш}^*$  и  $I_{ш}^*$  найдем из условий:  $M_k^{сп} \geq M_k$  (3.6.)

$$M_k^{сп} = M_k^{кр} \quad (3.7.)$$

Условие (3.7.) соответствует минимальному весу конструкции при минимальном количестве шпангоутов.

В формуле (3.6.)  $M_k$  определяется по формуле (3.8.)

$$M_k = 2 Q R = \frac{2,96 E h_A^{2,25} * R^{1,25}}{n_y (0,5 l)^{0,5}} \quad (3.8.)$$

Подставим (3.3.) и (3.8.) в (3.6.) и после преобразований получим:

$$1 + \frac{I_{ш}^*}{I_{об}^*} (N_{ш}^* + 1) = \left( \frac{h_A}{h_C} \right)^{3,6} \quad (3.9.)$$

или с учетом того, что  $h_A = K_G h$

$$\frac{I_{ш}^*}{I_{об}^*} (N_{ш}^* + 1) = K_G^{3,6} - 1 \quad (3.10.)$$

Теперь подставим (3.3.) и (3.5.) в (3.7.) и после преобразований получим

$$\frac{I_{ш}^*}{I_{об}^*} = (N_{ш}^* + 1)^{-0,2} - (N_{ш}^* + 1)^{-1} \quad (3.11.)$$

Подставим (3.11.) в (3.10.) и получим выражение для определения оптимального количества шпангоутов:

$$(N_{ш}^* + 1)^{0,8} - 1 = K_G - 1 \quad \text{или}$$

$$N_{ш}^* = K_G - 1 \quad (3.12.)$$

А теперь подставим (3.12.) в (3.10.):

$$I_{ш}^* = \frac{I_{об} (K_G - 1)^{3,6}}{K_G^{4,5}} \quad \text{или} \quad I_{ш}^* = \frac{l h^3 (K_G - 1)}{24 K_G^{4,5}} \quad (3.13.)$$

3.5. Определение толщины стенки оболочки.  
Толщину стенки подкрепленной оболочки  $h$  определим, рассмотрев устойчивость окрестности точки С.

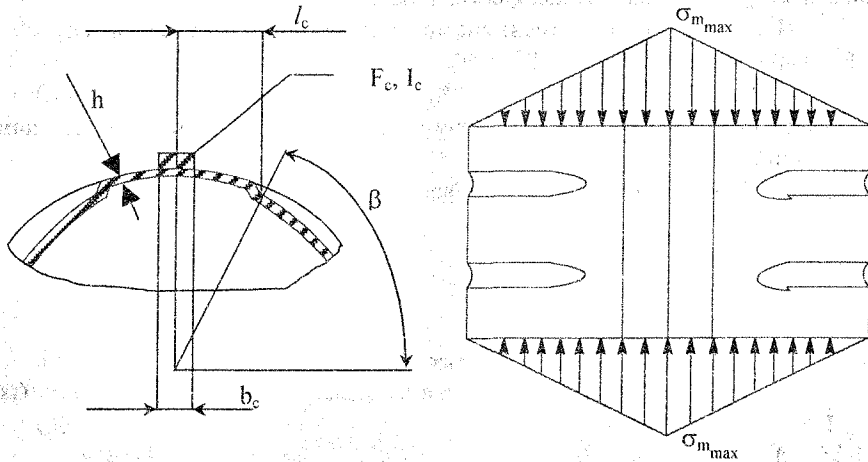


Рис. 3.3.

При расчете будем считать, что:

1. Оболочка подкреплена только стрингерами
2. Шаг стрингеров равен  $l_c$  (см. рис. 3.3.)
3. Оболочка нагружена сжимающими напряжениями равными  $\sigma_{mmax}$ , которое в свою очередь равно:

$$\sigma_{mmax} = \frac{Ql}{2\pi R^2 h}$$

4. Сжимающие напряжения, будем считать, вызываются сжимающей силой

$$F = \frac{Ql}{2R}$$

На рис. 3.3.  $F_c$  – площадь поперечного сечения стрингера без учета примыкающей к ним оболочки,  $m^2$ ;  
 $I_c$  – момент инерции поперечного сечения стрингера (с примыкающей частью оболочки),  $m^4$ .

В данном рассматриваемом случае произойдет несимметричная потеря устойчивости (согласно [2], с.588).

Критическая сила тогда будет определяться как:

$$F_{кр} = 4\pi\sqrt{(1-\mu^2)A_x * D_y} \quad (3.14.)$$

где  $A_x$  – жесткость оболочки на растяжение (или сжатие) в продольном направлении,  $\Pi_a * \mu$ .

$$A_x = \frac{Eh}{1-\mu^2} + \frac{E_c F_c}{I_c} \quad (3.15.)$$

$D_y$  – жесткость на изгиб в широтном направлении,  $\Pi_a * m^3$

$$D_y = \frac{Eh^3}{12(1-\mu^2)}, \text{ где } E_c, \text{ модуль продольной упругости материала}$$

стрингера,  $\Pi_a$ .

Если  $E_c \approx E$ , то

$$A_x = \frac{Eh}{1-\mu^2} \left(1 + \frac{F_c^{(1-\mu^2)}}{I_c h}\right) \quad (3.16.)$$

Обозначим  $F_c/(I_c h) = \psi$ , – это выражает отношение площади стрингера к площади поперечного сечения между стрингерами.

Тогда

$$A_x = \frac{Eh}{1-\mu^2} (1 + (1-\mu^2)\psi) \quad (3.17.)$$

И значение критической силы:

$$F_{кр} = \frac{2\pi E h^2}{\sqrt{3(1-\mu^2)}} \sqrt{1 + (1-\mu^2)\psi} \quad (3.18.)$$

В практических расчетах величина  $F_{кр}$  умножается на величину  $K/2$  (см. п.2.3.), а  $\mu$  считают равным 0,3. Тогда

$$F_{кр} = K E h^2 \sqrt{1 + 0,91\psi} \quad (3.19.)$$

Для случая неподкрепленной оболочки  $F_{кр}^H = K E h^2 c$  (см. п.2.3.)

Из условия устойчивости:  $F_{кр}^H = F_{кр} \geq Ql/(2R)$  (3.20.)

Отсюда следует  $h^2/h^2 = \sqrt{1 + 0,91\psi}$  (3.21.)

Откуда  $h = h_c / \sqrt{1 + 0,91\psi}$  (3.22.)

$$K_G = h_A / h_c \sqrt{1 + 0,91\psi} \quad (3.23.)$$

#### 4. ОПРЕДЕЛЕНИЕ МАССЫ ОБОЛОЧКИ И ЭКОНОМИИ МАТЕРИАЛА

Определим массы подкрепленной и неподкрепленной оболочек (без днищ)

$$M^H = 2\pi R / h_A * \rho_{ш} \quad (4.1.)$$

$$M^N = (2\pi R / h + 4\beta R F_{ш} N + 2F_c l) * \rho_{ш} \quad (4.2.)$$

где  $M^H, M^N$  – соответственно масса неподкрепленной и подкрепленной оболочек, кг,

$F_{ш}$  – площадь поперечного сечения шпангоута (без учета прилегающей части оболочки),  $m^2$ ,

$F_c$  – площадь поперечного сечения стрингера (без учета прилегающей части оболочки),  $m^2$

$N$  – число пар шпангоутов (т.е. двух полуколец),

$\beta$  – угол охвата зига (см. рис. 3.3), рад,

$$N = 2N_{ш} + 1 \quad (4.3.)$$

где  $N_{ш}$  – число шпангоутов, найденное по формуле (3.12.).

Экономия материала в % составит:

$$\frac{M'' - M''}{M''} * 100 \%$$

Дальнейшие расчеты показывают, что в формуле (4.2.) массой шпангоутов и массой стрингеров можно пренебречь, т.е.

$$M'' \approx 2\pi R h * \rho_m$$

где  $\rho_m$  – плотность материала,  $kg/m^3$ .

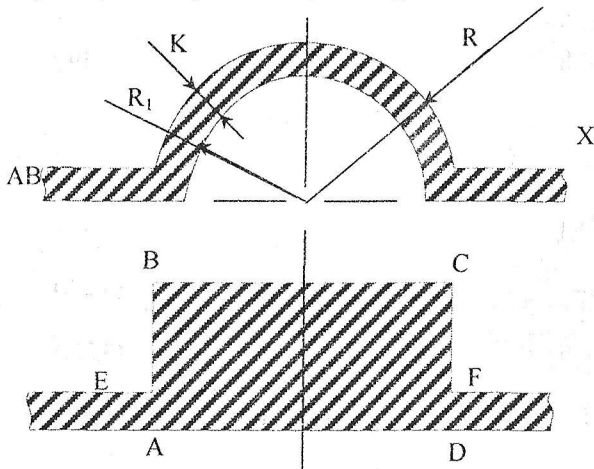
Тогда:  $M'' \approx K_G M''$ .

В этом случае экономию материала можно оценить по следующей формуле:

$$\frac{K_G - 1}{K_G} * 100 \% \quad (4.5.)$$

## 5. ОПРЕДЕЛЕНИЕ ПАРАМЕТРОВ ЗИГА.

Поставим задачу: известные  $I_{ш}$ ,  $h$  и формы поперечного сечения зига. Найти параметры зига (точнее  $R$  (см. 5.1.))



$I_{ш}$  – это момент инерции прямоугольника

Рис. 5.1.

Момент инерции зига изображенного на рисунке 5.1. будет равен:

$$I_x = 0,11(R^4 - R_1^4) - 0,283 R^2 R_1^2 (R - R_1)/(R + R_1) \quad (5.1.)$$

$$I_x \geq I_{ш}^* \quad (5.2.)$$

Площадь поперечного сечения шпангоута будет:

$$F_{шш} = (\pi R^2 - \pi R_1^2)/2 \quad (5.3.)$$

Площадь поперечного сечения шпангоута без учета прилегающей части оболочки:

$$F_{ш} = (\pi R^2 - \pi R_1^2)/2 - 2Rh \quad (5.4.)$$

Для нахождения  $R$  удобно пользоваться безразмерным параметром

$$\varphi = R/h \quad (5.5.)$$

тогда:  $R_1 = (\varphi - 1) h$

Соответственно:

$$F_{ш} = \pi/2 * (\varphi^2 - (\varphi - 1)^2) h^2 - 2\varphi h^2 = \pi/2 * h^2 (2\varphi - 1) - 2\varphi h^2 = (\pi\varphi - 2\varphi - \pi/2) h^2 = (1,141\varphi - \pi/2) h^2$$

$$F_{ш} = (1,141\varphi - \pi/2) h^2 \quad (5.6.)$$

И момент инерции:

$$I_x = I_{ш}^* = 0,11h^4(\varphi^4 - (\varphi - 1)^4) - 0,283\varphi^2(\varphi - 1)^2 h^4 / (2\varphi - 1) = [0,11(\varphi^4 - (\varphi - 1)^4) - 0,283\varphi^2(\varphi - 1)^2 / (2\varphi - 1)] h^4$$

$$I_{ш}^* = [0,11(\varphi^4 - (\varphi - 1)^4) - 0,283\varphi^2(\varphi - 1)^2 / (2\varphi - 1)] h^4 \quad (5.7.)$$

Решив уравнение (5.7.) где  $I_{ш}^*$  и  $h$  известны, найдем  $\varphi$ , затем найдем  $R$  и  $F_{ш}$ .

## 6. ПОРЯДОК РАСЧЕТА ПОДКРЕПЛЕННОЙ ОБОЛОЧКИ

### 6.1. Исходные данные

1. Объем –  $V, m^3$
2. Длина цилиндрической части –  $l, m$
3. Радиус цилиндра  $R, m$
4. Удельный вес жидкости  $\gamma, n/m^3$
5. Модуль продольной упругости  $E, Па$
6. Допускаемое напряжение –  $[\sigma], Па$
7. Угол охвата зига –  $\beta, рад.$
8. Отношение площади поперечного сечения стрингера к площади поперечного сечения оболочки между стрингерами –  $\psi$
9. Плотность материала –  $\rho_{ш}, kg/m^3$
10. Коэффициент запаса устойчивости –  $\Pi_y$

$$6.2. \text{Определение реакции в опоре } Q: \quad Q = \gamma V / 2 \quad (6.1.)$$

6.3. Определение толщины стенки из условий прочности:

$$h_1 = \gamma V / (\pi R [\sigma]) \quad (6.2.)$$

6.4. Определение толщины стенки неподкрепленной оболочки из условий устойчивости:

$$h_A = [l^2 / (4R) * (\Pi_y Q / (1,476E))^4]^{1/9} \quad (6.3.)$$

$$h_c = [\pi_y Q // (11,25 * R^{0,625} * E)]^{0,421} \quad (6.4.)$$

$$h_H = \max \{h_A; h_C\} \quad (6.5.)$$

6.5. Целесообразность подкрепления.

Если  $h_H > h_1$ , то подкрепление целесообразно.

6.6. Определение толщины подкрепленной оболочки

$$h = h_C / \sqrt[4]{1 + 0,91\psi} \quad (6.6.)$$

$$h_n = \max \{h; h_1\} \quad (6.7.)$$

6.7. Определение коэффициента эффективности подкрепления

$$K_G = h_A / h_n \quad (6.8.)$$

6.8. Определение количества пар полуколец

$$N = 2K_G - 1 \quad (6.9.)$$

где  $N = 1, 2, 3, \dots$  и т.д.

6.9. Определение момента инерции шпангоута

$$I_{ш} = I_{h_n} (K_G - 1) / (24 K_G) \quad (6.10.)$$

6.10. Решение уравнения

$$0,11 [\varphi^4 - (\varphi - 1)^4] - 0,283 \varphi^2 (\varphi - 1)^2 / (2\varphi - 1) = I_{ш} / h_n \quad (6.11.)$$

6.11. Определение площади поперечного сечения шпангоута (т.е. зига)

$$F_{ш} = (1,141\varphi - \pi)h^2 \quad (6.12.)$$

6.12. Определение радиуса зига

$$R_3 = \varphi h \quad (6.13.)$$

6.13. Определение условного шага стрингера

$$l_C = (\pi/2 - \beta) * R \quad (6.14.)$$

6.14. Определение площади поперечного сечения стрингера

$$F_C = l_C * h * \psi \quad (6.15.)$$

6.15. Определение массы неподкрепленной оболочки

$$M^H = 2\pi R / h_{II} * \rho_{ш} \quad (6.16.)$$

6.16. Определение массы подкрепленной оболочки

$$M^П = (2 \pi R / h_n + 4 \beta R F_{ш} N + 2 F_C) * \rho_{ш} \quad (6.17.)$$

6.17. Определение экономии материала

$$\varepsilon\% = (M^H - M^П) / M^H \quad (6.18.)$$

6.18. Ответ:  $h_1, h_n, h_{II}, K_G, N, I_{ш}, F_{ш}, R, F_C, M^H, M^П, \varepsilon\%$

## 7. РАСЧЕТ ГОРИЗОНТАЛЬНОЙ ЦИСТЕРНЫ НА ЯЗЫКЕ «FORTRAN IV»

Блок-схема к программе показана на странице 18.

Ввод начальных данных: основные параметры цистерны и аппаратов по ОСТ 27-31-132-78 вводятся в виде матрицы с элементами  $B(I_1, Y_1)$ , где  $I_1$  изменяется от 1 до  $N_2$ , причем  $N_2$  равно количеству вариантов рассчитываемых в программе;

$Y_1$  изменяется от 1 до  $M_2$ , причем  $M_2$  равно 3 во всех случаях.

Данные  $N_2$  и  $M_2$  вводятся с одной перфокарты.

Элементы матрицы должны быть размещены на перфокартах по столбцам.

На одной карте пробивается  $K$  элементов, где  $K$  – число элементов кратное величине  $N_2$ .

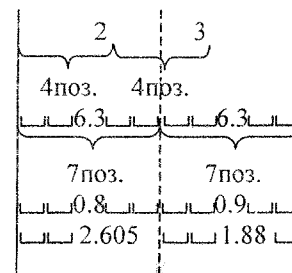
Тогда вид формата:

```
READ f, N2, M2, ((B(I1, Y1), I1=1, N2, I1=1, M2))
f FORMAT (2I4/(kF7.3))
```

где  $f$  – метка формата. Т.е. если необходимо рассчитать следующие варианты: объем,  $m^3$ ; радиус,  $m$ ; длина цилиндрической части,  $m$ ,

6.3	0.8	2.605
6.3	0.9	1.880

то перфокарты исходных данных будут иметь вид:



ВНИИВиП «Магарач»  
 НАУЧНО-ТЕХНИЧЕСКАЯ БИБЛИОТЕКА  
 334200 г. Елга Крымской обл., ул. Кирова 27

Остальные исходные данные не изменяющие свои величины в программе можно ввести с отдельных перфокарт (см распечатку)  
 Программа приведена на распечатке

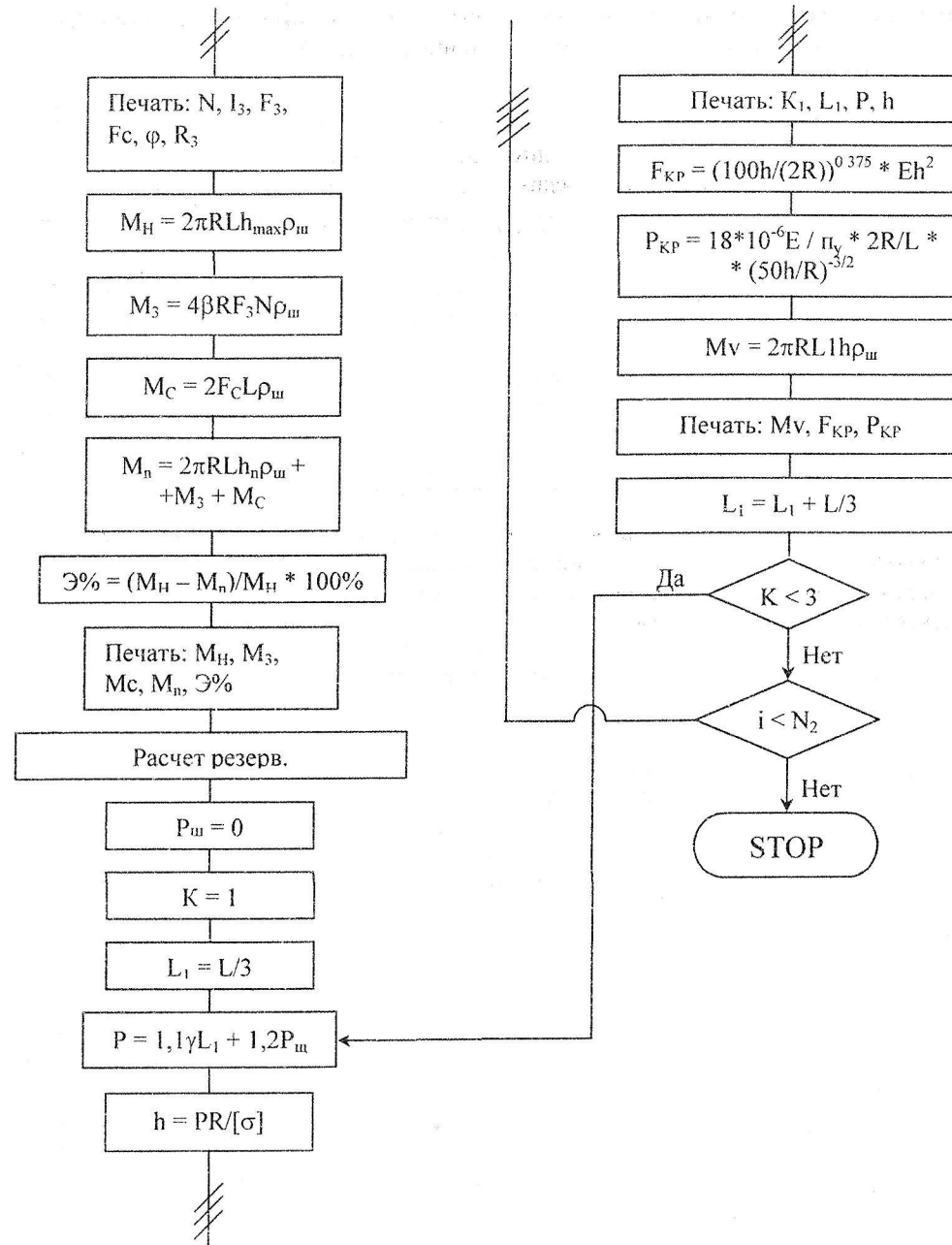
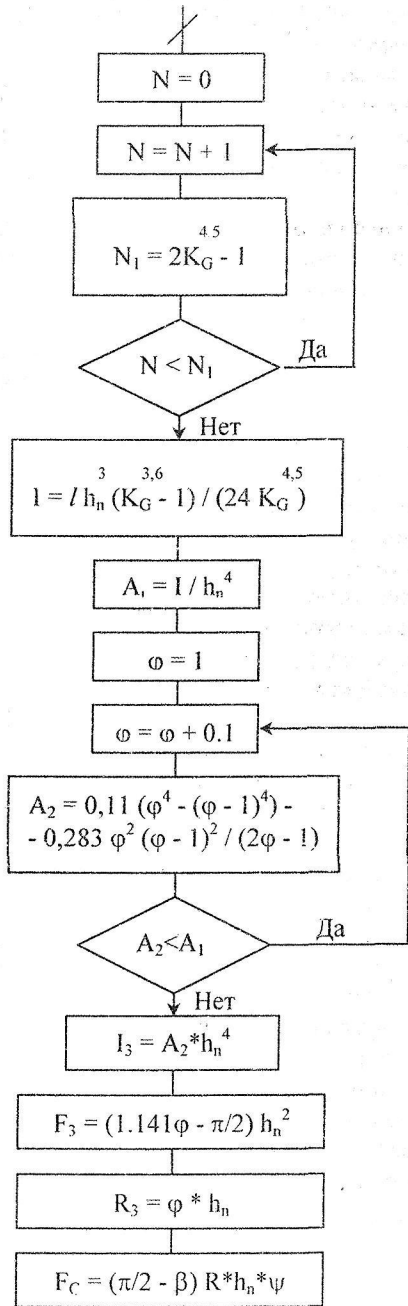
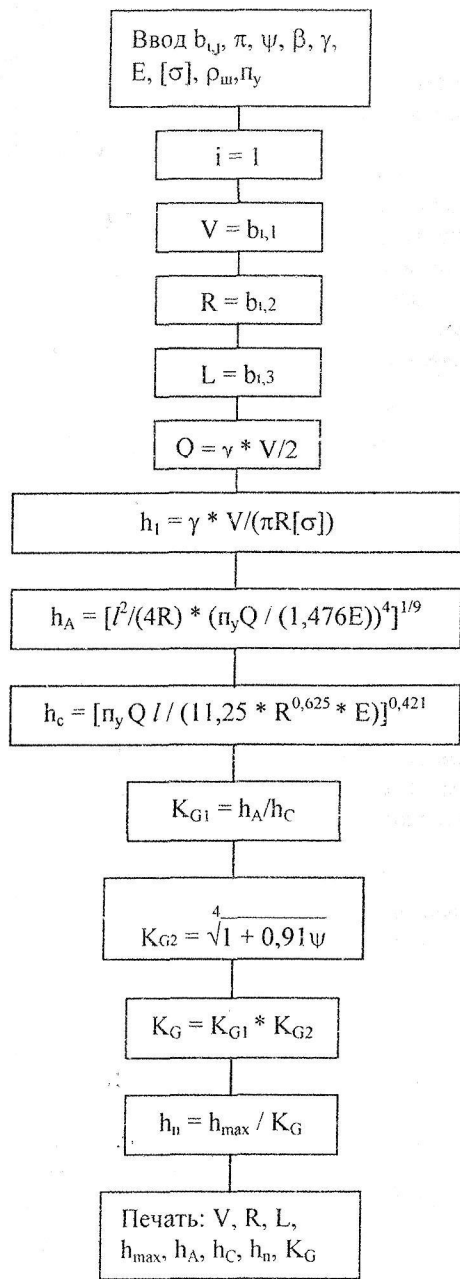
Таблица 1

Порядок следования исходных данных		
Вводимый параметр	Тип данног о	Идентификатор вывода на печать
1	2	3
Число строк матрицы	Арифметическое целое	N2
Число столбцов матрицы	—//—	M2
Номер строки матрицы	Арифметическое целое	И
Номер столбца матрицы	—//—	Y1
Число $\pi$	Арифметическое с фиксированной запятой	PI
Отношение площади поперечного сечения стрингера к площади поперечного сечения оболочки между стрингерами	—//—	PSI
Угол охвата зига	—//—	BETTA
Удельный вес жидкости	—//—	GAMMA
Плотность материала	Арифметическое с фиксированной запятой	ROM
Модуль продольной упругости	Арифм с плавающей запятой	E
Допускаемое напряжение	—//—	SIGMA
Коэффициент запаса устойчивости	Арифметическое с фиксированной запятой	NU
Объем обечайки	—//—	V
Радиус обечайки	—//—	K
Длина цилиндрической части	—//—	L
Реакция в опоре	Арифметическое с плавающей запятой	Q
Толщина стенки обечайки из условий прочности	—//—	HPR
Толщина стенки обечайки из условий устойчивости в зоне А	—//—	HA
то же в зоне С	—//—	HC
Толщина стенки неподкрепленной оболочки	—//—	HNP
Коэффициент эффективности подкрепления от постановки зиг ов	Арифметическое с фиксированной запятой	KG1
Коэффициент эффективности подкрепления от постановки стрингеров	—//—	KG2

1	2	3
Коэффициент эффективности подкрепления	—//—	KG
Число зиг ов	—//—	N
Момент инерции оптимального шпангоута	Арифметическое с плавающей запятой	I
Коэффициент формы момента инерции	—//—	AI
Отношение радиуса зига к толщине стенки	Арифметическое с фиксированной запятой	RHI
Коэффициент формы момента инерции зига	Арифметическое с плавающей запятой	A2
Момент инерции зига	Арифметическое с плавающей запятой	IZ
Площадь поперечного сечения зига	—//—	FZ
Наружный радиус зига	—//—	RZ
Площадь поперечного сечения стрингера	—//—	FS
Масса неподкрепленной оболочки	—//—	MN
Масса зиг ов	—//—	MZ
Масса стрингеров	—//—	MS
Масса подкрепленной оболочки	—//—	MP
Экономия материала	Арифметическое с фиксированной запятой	AKONM
Избыточное давление	—//—	PIS
Номер пояса резервуара	Арифметическое целое	KI
Высота пояса	Арифметическое с фиксированной запятой	LI
Вспомогательная величина для вычисления массы резервуара	—//—	S
Величина гидростатического давления	Арифметическое с плавающей запятой	P
Минимальная толщина стенки резервуара из условий прочности	—//—	H
Критическое сжимающее условие	—//—	FKR
Величина критического внешнего давления	—//—	PKR
Масса резервуара или сумма масс поясов резервуара	—//—	MV

стр. 1

Размерность всех величин приведена в системе СИ



В качестве примеров в таблице 2 приведены данные по экономии металла при изготовлении горизонтальных цистерн с полузигами объемом от 6,3 м<sup>3</sup> до 40 м<sup>3</sup>.

Таблица 2

Объем /V/, м <sup>3</sup>	Длина обечайки //, м	Радиус цистерны /R/, м	Число полузиг /N/	Экономия металла в % к массе выпускаемых цистерн
6,3	1,88	0,9	10	23,39
8,0	1,88	1,0	11	24,79
10,0	2,52	1,0	8	21,22
10,0	1,90	1,1	12	25,92
12,5	1,97	1,2	12	26,72
16,0	2,74	1,2	9	22,74
20,0	2,90	1,3	10	22,99
32,0	2,92	1,6	12	25,72
40,0	3,91	1,6	9	22,22

Данные таблицы показывают, что потребность в нержавеющей стали снижается до 26,72 % на каждую цистерну только за счет полузиг на обечайках. Например, при изготовлении одной цистерны вместимостью 20 м<sup>3</sup> экономится не менее 600 кг листового металла.

## Литература

- ГОСТ 14249-80 Сосуды и аппараты. Нормы и методы расчета на прочность
- Биргер И.А. Расчеты на прочность деталей машин. «Машиностроение», М., 1966 г.
- Колкунов Н.В. Основы расчета упругих оболочек. «Высшая школа», М., 1972 г.
- Лизин В.Т. Проектирование гонкостенных конструкций. «Машиностроение», М., 1985 г.
- Общесоюзный перечень № РМ-3-1980 материалов и веществ, разрешенных Минздравом СССР к применению в винодельческой промышленности, Ялта, 1980 г.
- Грунд Ф. Программирование на языке «FORTRAN IV». «Мир», М., 1976 г.
- Корниенко В.С. Сооружение резервуаров. Из-во литературы по строительству, М., 1971 г.
- ОСТ 27-31-132-78 Сосуды и аппараты для винодельческой и пивоваренной промышленности. М., 1984 г.
- Тюрин С.Т., Важенин С.Ф., Наумова И.Е., Владимирский В.В., Жданович Г.А., Лимаренко И.П., Приходько А.К., Карой А.М., Пичугин А.М., Лукьянов Б.М. Горизонтальная цистерна для хранения пищевых жидкостей А.с. СССР № 440310.
- Тюрин С.Т., Литовченко А.М., Шалай В.В., Яцина А.Н., Тюрин А.С., Покровский А.В., Литовченко В.А., Новиков О.В. Резервуары облегченных конструкций. г. Киев, 1993 г., 10с.
- Тюрин С.Т., Литовченко А.М., Шалай В.В., Яцина А.Н., Тюрин А.С., Покровский А.В., Литовченко В.А., Новиков О.В. Горизонтальная цистерна для зберігання та транспортування харчових рідин. Патент на винахід №21269А. Україна.
- Тюрин С.Т., Литовченко А.М., Чернявский В.П. Материалы и оборудование для предприятий, перерабатывающих плоды и ягоды. г. Днепрпетровск, Січ, 2000г. 222с.

## ОГЛАВЛЕНИЕ

Введение .....	3
1. Расчет гладкой цилиндрической оболочки, нагруженной поперечными силами на прочность .....	4
2. Расчет гладкой цилиндрической оболочки, нагруженной поперечными силами на устойчивость .....	5
3. Расчет на устойчивость подкрепленной цилиндрической оболочки .....	7
4. Определение массы оболочки и экономии материала .....	11
5. Определение параметров зига .....	12
6. Порядок расчета подкрепленной оболочки .....	13
7. Расчет горизонтальной цистерны на языке «FORTRAN IV» .....	15
Литература .....	21

### **Об экономии материалов при выпуске облегченных конструкций горизонтальных цистерн.**

Составители:

**Тюрин** Сергей Тимофеевич, почетный академик КАН  
**Шалай** Виктор Владимирович, доктор технических наук, профессор  
**Тюрин** Александр Сергеевич, инженер  
**Покровский** Алексей Викторович, кандидат технических наук  
**Капанидакис** Александр Иванович, инженер  
**Мошкин** Владимир Федорович, инженер

Сдано в набор 01.10.2001 г.  
Подписано в печать 15.10.2001 г.  
Тираж 4-50экз.  
Бумага офсетная. Формат 145x200/80.  
Отпечатано в тип. «ВИЗАВИ»,  
г. Ялта, тел. 32-02-54.